

III-23 粘土の粒子間結合に関する考察

大阪大学工学部 正員 伊藤富雄
 同 正員 ○松井保
 同 大学院 学生員 伴野勝則

① まえがき

土質力学の体系をより統一的に整えるため、ミクロな立場からアプローチされることが多い。その際、ミクロな立場で得られた成果がマクロな立場での成果あるいは現象にただちに関連づけられない場合も多い。しかし、ミクロなアプローチの発展の目的はマクロな現象をより統一的に解明することである。以上の観点から、ミクロな立場に立つべき、ミクロおよびマクロな立場で得られた成果を互に関連づけ一体化する努力を怠ってはならないと思われる。筆者らは、今までミクロな立場に立てて、rate process理論にもとづき粘土・水系の流動機構を統一的に明らかにしてきた。⁽¹⁾⁽²⁾⁽³⁾ その際の微視的機構として分子オーダーの流動単位が考えられ、その結合力と結合数が粘土・水系のせん断抵抗力発生の基本的な機構であることを明らかにしてきた。このようなミクロな機構の妥当性をさらに確実なものにするためには、すでに明らかにされているマクロなせん断特性と関連づけることが重要で不可欠であると考えられる。本報告は、以上のようなミクロとマクロの成果を互に関連づけ一体化するための一考察である。

② 圧密粘土の強度定数の微視的意味

微視的な機構の結合力が一走りあり、その集合によって巨視的な粘土・水系のせん断強さが發揮されるという概念にもとづき、BowdenとTaborによる摩擦の凝着理論を粘土粒子接合處に適用して、有効応力規準による強度定数 ϕ' および C' の意味が以下のように微視的に明らかにされた。⁽²⁾ すなわち、単位面積当たりの粘土粒子接合数を S_s 、粘土粒子1接合處に作用する垂直力を P_t 、粘土要素に外的に作用する力を P 、粘土粒子間の相互作用による内的な力を P_0 、粘土粒子1接合處の接触面積を A_c 、外的な力が作用しない場合のそれを A_0 、粘土の降伏応力を σ_y 、破壊時に流動単位に作用するせん断力 τ_f 、単位面積当たりの流動単位数(結合数)と接触面積の比例係数を X とし、次式が仮定される。

$$P = P_t - P_0 = \sigma_y (A_c - A_0), \quad P = \sigma' / S_s, \quad S = X \cdot S_s \cdot A_c \quad (1)$$

$$\text{式(1)～3式より}, \quad \sigma' = \sigma_y \cdot S / X - \sigma_y \cdot S_s \cdot A_0 \quad (2)$$

実験的に明らかにされたように、せん断強さ T_f と結合数 S は比例関係にある。⁽²⁾ すなわち、

$$T_f = f_f \cdot S \quad (3)$$

式(2)および式(3)より T_f と σ' の関係を求めれば、 ϕ' および C' の微視的意味が次式のように明らかにされる。

$$\left. \begin{aligned} \phi' &= \tan^{-1} (X \cdot f_f / \sigma_y) \\ C' &= X \cdot f_f \cdot S_s \cdot A_0 \end{aligned} \right\} \quad (4)$$

ここで、正規圧密粘土の場合 A_0 がほとんどなく、 C' は0となる。

一方、最も合理的な強度定数は Hvorslev 規準の有効摩擦角 ϕ_e および有効粘着力 C_e である。これらは強度定数は式(4)と同様にして次式のように微視的に表現できること。

$$\left. \begin{aligned} \phi_e &= \tan^{-1} (X_e \cdot f_f / \sigma_y) \\ C_e &= X_e \cdot f_f \cdot S_s \cdot A_0 \end{aligned} \right\} \quad (5)$$

ここで、 X_e は Hvorslev 規準の場合の結合数と接触面積の比例係数である。

③ 実験結果による微視的意味の検討

まず、有効応力規準の場合を検討する。正規圧密および過圧密、千里粘土に対する三軸圧縮試験およびDouble-Incrementのクリープ試験の結果を図-1および図-2に示す。図-1より、正規圧密粘土に対する $\phi' = 27.0$ ⁽¹⁾

過圧密粘土に対する $\phi' = 19.1^\circ$, $C' = 0.167 \text{ kg/cm}^2$ が得られた。一方、図-2より N.C. および O.C. に対する σ'_m と S の線形関係が得られている。これは、式(2)の関係が成立することを示しており、式(1)の妥当性を証明している。ただし、N.C. の場合には A_0 がほとんどなく、 σ'_m と S が近似的に比例するようになる。粘土粒子の降伏応力を直接求めることは困難であるが、泥岩、粘板岩、頁岩などの強度から推測すると、 10^3 kg/cm^2 程度である。また、破壊時に流動単位に作用するせん断力 τ_s は約 10^7 g である。これらの値を用いれば、 X および S_{sA_0} が決定できる。 ϕ' あるいは $S - \sigma'_m$ 関係の勾配から得られる X の値、および C' あるいは $S - \sigma'_m$ 関係の切片から得られる S_{sA_0} の値を表-1 に示す。

つぎに、Hvorslev 規準の場合を検討する。Gibson⁴⁾によれば、図-3 に示すように、 σ_e は 1 つの土に対する含水比の増加とともに増加する傾向にあるが、ほぼ一定値になることが実験的に確認されている。 σ_e および ϕ_g は 1 つの土に対するほぼ一定であると思われる。式(5)の σ_e の表現は実験結果を定性的に満足している。ただし、実測結果から判断すれば、 σ_e は含水比の増加とともに増加するものと思われる。一方、Hvorslev⁵⁾によれば、図-4 に示すように、 C_e は等価圧密圧力 σ'_e に比例することが実験的に確認されている。式(5)の C_e の表現における $X_e \cdot f_f$ はほぼ一定になるので、 S_{sA_0} すなわち内たる力に起因する単位面積当たりの粘土粒子接觸面積が等価圧密圧力に比例することになる。等価圧密圧力が大になれば、 S_{sA_0} も大になることは首肯できる。図-4 の結果より X_e および S_{sA_0}/σ'_e を求めれば、それらを表-2 のように得られる。

X あるいは X_e は表-1、表-2 により 10^{12} cm^{-2} のオーダーで得られる。しかしながら、 X あるいは X_e の物理的意味は土粒子接觸面単位面積当たりの結合数（流動単位数）である。流動単位平衡位置間の距離は 2.8 \AA 程度と考えられており¹⁾。このような流動単位を密に詰めた場合、最大の流動単位数は単位面積当たり 10^{15} cm^{-2} のオーダーになる。計算で得られた X あるいは X_e がこの最大値に近い値²⁾、数オーダー小さい値として得られているので、これらの X あるいは X_e の値は十分物理的意味をもつ値であると考えられる。

一方、外的な応力 σ' による接觸面積は、 $S_{s(A_c - A_0)}/\sigma' = 10^{-6} \text{ cm}^2/\text{g}$ 程度である。表-1、表-2 により、内的な力による接觸面積 S_{sA_0}/σ'_e は $10^{-6} \sim 10^{-7} \text{ cm}^2/\text{g}$ 程度である。この程度の有効圧密圧力の状態では外的な力による接觸面積の方が内的な力によるそれよりも大きくなる。

参考文献

- 1) 伊藤・松井：粘土の流動機構に関する研究、土木学会論文報告集、第236号（1973）
- 2) 伊藤・松井：rate process 理論にもとづく粘土の粒子間結合について、第10回国土復工学会研究発表会（1975）
- 3) 松井・伊藤：粘土・水系統一的な流動の機構に関する基礎的研究、土木学会論文報告集（投稿中）
- 4) Gibson: Proc. 3rd ICSMFE, pp. 126~130 (1953)
- 5) Hvorslev: Proc. Res. Conf. on Shear Strength of Cohesive Soils, p. 204 (1960)

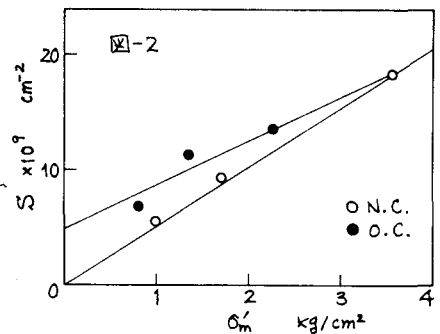
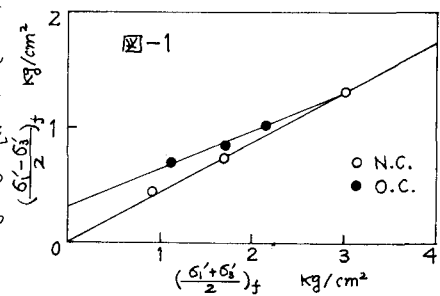


表-1

	q' or C' など	$S - \sigma'_m$ 関係など
X	N.C. 5.1×10^{12} (cm^{-2}) O.C. 3.5×10^{12}	5.3×10^{12} 3.7×10^{12}
S_{sA_0}	O.C. 4.8×10^{-4} (cm^2/g)	1.4×10^{-3}

	VIENNA CLAY V	LITTLE BELT CLAY
σ_e (cm^{-2})	6.3×10^{12}	3.5×10^{12}
S_{sA_0}/σ'_e (cm^2/g)	3.2×10^{-7}	8.2×10^{-7}

